

聚吡咯/二氧化锡杂化材料的制备及气敏性研究

耿丽娜 王淑荣 李鹏 赵英强 张守民 吴世华*

(南开大学化学系, 天津 300071)

摘要: 化学氧化法制备了聚吡咯(PPy), 并进行了元素分析、TG-DTA 分析、FTIR 测试。讨论了氧化剂用量对 PPy 气敏性的影响。用机械共混法制备了含不同聚吡咯的聚吡咯/二氧化锡杂化材料, 研究其低温下对有毒气体 NH₃、H₂S、NO 的敏感性。结果表明, 相同条件下聚吡咯/二氧化锡杂化材料的气敏性和稳定性均优于聚吡咯、二氧化锡。60 °C时, 当聚吡咯/二氧化锡杂化材料中聚吡咯的质量分数为 5%时, 其对体积分数为 0.05%的 H₂S 的灵敏度(V_g/V_a)达到了 104.52, 且响应恢复时间短。文章讨论了气体与敏感元件的相互作用机制。这一研究有助于开发低能耗、灵敏度高的气敏元件。

关键词: 聚吡咯; 二氧化锡; 杂化材料; 气敏性; 气敏元件

中图分类号: O614.43⁺²; TP212 文献标识码: A 文章编号: 1001-4861(2005)07-0977-05

Preparation and Gas Sensitivity Study of Polypyrrole/Tin Oxide Hybrid Material

GENG Li-Na WANG Shu-Rong LI Peng ZHAO Ying-Qiang ZHANG Shou-Min WU Shi-Hua*

(Department of Chemistry, Nankai University, Tianjin 300071)

Abstract: Polypyrrole (PPy) was prepared by chemical oxidation polymerization and characterized by elemental analysis, TG-DTA and FTIR. The influence of oxidant amount on PPy gas sensitivity was discussed. PPy/SnO₂ hybrid materials with different PPy content were prepared by mechanical mixing, and the sensitivities of the hybrids to toxic gases NH₃, H₂S, NO at low temperature were studied. The result showed that the sensitivity and stability of the hybrid materials were superior to those of PPy and SnO₂ under the same conditions. At 60°C, the sensitivity of PPy/SnO₂ containing 5%PPy by mass to 0.05% H₂S by volume reached to 104.52, and the response-recovery time was very short. The interaction mechanism between gases and sensors was also discussed.

Key words: polypyrrole; tin oxide; hybrid material; gas sensitivity; gas sensor

0 引言

进入新世纪, 人类对生存环境的要求越来越高, 使得气体传感器的研究日益重要。目前在气体传感器的研究及开发上存在的主要问题是高灵敏度、常温化、快速响应不能同时满足。金属氧化物类气敏元件(SnO₂、Fe₂O₃、ZnO)的研制以及对易燃、易爆、有毒气体的气敏性研究已有广泛报道^[1-4], 但其存在着操作温度高(350~450 °C)^[5,6]、耗能高、有安全隐患、选择性不好等缺陷。有机半导体如聚吡咯、聚苯胺、酞菁

等在常温对特定气体就有敏感性^[7]。由于聚吡咯制备方便, 相对稳定性较好, 所以研究较多。但由于聚吡咯的高度有序结构使得气体的吸附、脱吸附很慢, 导致其对气体的响应、恢复时间较长, 变化范围在几分钟至一百分钟^[7,8], 大大降低了它的使用价值。

为充分发挥有机、无机材料的优点, 将有机/无机杂化材料用于敏感元件的研究早已有报道^[9]。对于气敏元件的研究, Benjamin 等^[10]报道了聚吡咯(及其衍生物)/二氧化锡杂化材料在室温下对有机蒸气(如甲醇、乙酸乙酯等)敏感性。Suri 等^[11]制备了聚吡

收稿日期: 2004-11-08。收修改稿日期: 2005-01-23。

*通讯联系人。E-mail:wushh@nankai.edu.cn

第一作者: 耿丽娜, 女, 28岁, 博士研究生; 研究方向: 有机/无机杂化材料、敏感元件的研究。

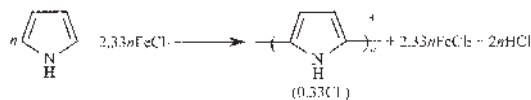
咯/氧化铁的杂化材料，并研究其气敏、湿敏性质。然而国内在这方面的研究尚未见报道。本文用机械共混法制备了聚吡咯/二氧化锡的杂化材料，首次研究其在低温下对有毒气体 NH₃、H₂S、NO 的敏感性，并与聚吡咯、二氧化锡作对比，最后讨论了敏感机理。

1 实验部分

1.1 聚吡咯(PPy)的制备及分析

将吡咯(Py)减压蒸馏，收集产物，将其放入装有 0.4 nm 分子筛的干燥器中，于 0~4 ℃下避光保存，备用。

以无水 FeCl₃ 为氧化剂，化学氧化法制备聚吡咯，按如下反应进行^[12]：



实验操作如下：在配有冷凝管的圆底烧瓶中加入 50 mL 无水乙醚，搅拌下加入一定量无水 FeCl₃，通 N₂ 气 20~30 min，再用注射器注入 Py(FeCl₃) 与 Py 的物质的量之比分别为 1:1, 2:1, 3:1, 4:1, 5:1，在 N₂ 气氛中反应 1.5 h，过滤得 PPy 黑色固体，将产物用蒸馏水洗涤至中性，再用无水甲醇洗两次，室温下真空干燥 24 h。

制备的 PPy 用 FTIR(用 Nicolet Avatar 360 FTIR 红外光谱仪、KBr 压片法)、TG-DTA 分析(ZRY-2P 型热分析仪)、元素分析(C、H、N 分析用德国仪器 Elementar Vario EL., Cl 用化学方法分析)等方法进行表征。

1.2 PPy/SnO₂ 杂化材料的制备

用机械共混法制备 PPy/SnO₂ 杂化材料，所用 SnO₂ 为天津市化学试剂三厂产品(分析纯，粒径为 14.8 nm)，PPy 为 FeCl₃ 与 Py 的物质的量之比等于 3:1 时所得到的产物，杂化材料中 PPy 的质量分数分别为 1%、3%、5%、10%、20%、30%。

1.3 气敏性测试

将制备的 PPy、PPy/SnO₂ 杂化材料及 SnO₂ 制成旁热式气敏元件，分别在室温、60 ℃下用电压检测法进行气敏测试。取样电阻为 4.7 MΩ，环境湿度为 60%。响应(恢复)时间为从气敏元件接触(脱离)被测气体至其电压值变化为 |V_a-V_g| 值的 90% 所用的时间，灵敏度用 S_n(或 S_p) 表示。(S_n、S_p 分别代表 n、p 型半导体的灵敏度，S_n=V_g/V_a，S_p=V_a/V_g，V_g、V_a 分别代表元件在测试气氛及洁净空气中的稳态电压值)。

NH₃、H₂S、NO 自行制备，实验中所用气体体积分数分别为 0.1% NH₃、0.05% H₂S、0.1% NO。

2 结果与讨论

2.1 PPy 测试分析

图 1 是 PPy (FeCl₃ 与 Py 的物质的量之比为 3:1 所得产物) 的 FTIR 图，我们看到，在 1540 cm⁻¹，1180 cm⁻¹, 1050 cm⁻¹, 900 cm⁻¹ 处有 PPy 的特征吸收，3400 cm⁻¹ 处的谱带是 NH 的伸缩振动吸收峰。

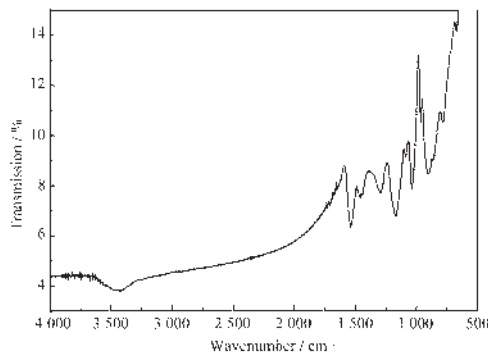


图 1 PPy 的 FTIR 图

Fig.1 FTIR spectrum of PPy

在空气中对 PPy 进行 TG-DTA 分析(图 2)，升温速度为 10 °C·min⁻¹。由图 2 可见在 100 °C附近有一次热失重，这是水的蒸发，在 250~300 °C 处开始有第二次热失重，这是由于 PPy 发生热分解，到 500 °C 以后呈水平状态，这表明 PPy 热分解完全。

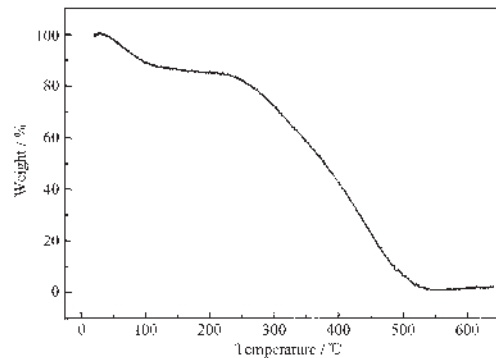


图 2 PPy 的 TG 曲线

Fig.2 TG curve of PPy

元素分析结果是：C 48.35%，H 3.63%，N 12.94%，Cl 14.14% (C_{4.03}H_{3.63}N_{0.92}Cl_{0.4})，样品中 Cl⁻ 为掺杂阴离子，本实验中 FeCl₃ 不但是吡咯聚合的氧化剂，同时 Cl⁻ 又可作为聚吡咯的掺杂剂。

2.2 元件气敏性能

2.2.1 FeCl₃ 用量对 PPy 气敏性的影响

吡咯(Py)在氧化剂的存在下很快氧化成 PPy，但

是未掺杂(即本征态)的 PPy 没有气敏性,它必须经合适的掺杂剂掺杂才会有气敏性。实验中选用 FeCl_3 做氧化剂,所得产物为 Cl^- 掺杂的聚吡咯。图 3 为室温下 FeCl_3 用量对 PPy 气敏性影响的关系图。当 FeCl_3 与 Py 物质的量之比为 1:1, 2:1 时, PPy 对 NH_3 、 H_2S 、NO 都没有气敏性; 当 FeCl_3 与 Py 物质的量之比超过 3:1 时才表现出气敏性, 随着 FeCl_3 用量的增加 PPy 对特定气体气敏性几乎没有增加。所以我们选择 FeCl_3 与 Py 物质的量之比为 3:1 所得的 PPy 进行 PPy、 SnO_2 、PPy/ SnO_2 三者气敏性能的比较实验。

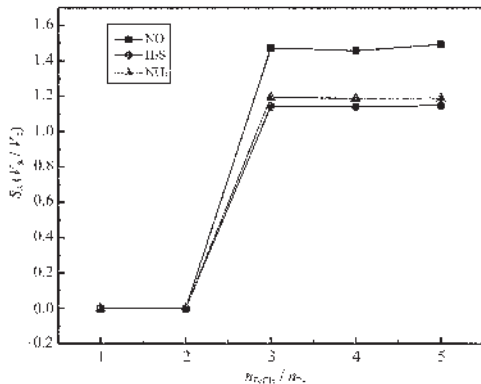


图 3 $n_{\text{FeCl}_3}/n_{\text{Py}}$ 对 PPy 气敏性的影响(室温)

Fig.3 Influence of $n_{\text{FeCl}_3}/n_{\text{Py}}$ on PPy sensitivity
(at room temperature)

2.2.2 PPy 含量与杂化材料气敏性的关系

室温下, 测试不同 PPy 含量的杂化材料(PPy 的

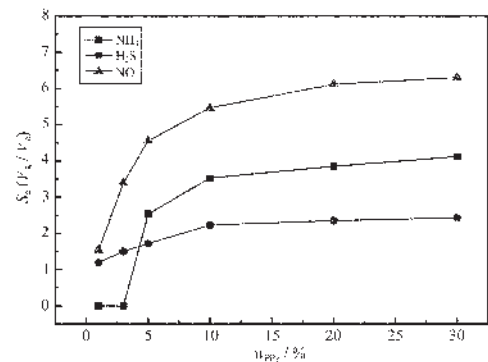


图 4 室温下 NH_3 、 H_2S 、NO 中杂化材料灵敏度随 PPy 百分含量的变化

Fig.4 Variation of sensitivity with concentration of PPy in NH_3 , H_2S , NO at room temperature

质量分数分别为 1%、3%、5%、10%、20%、30%) 对 0.1% NH_3 、0.05% H_2S 、0.1% NO 的气敏性。由图 4 可见,对于不同 PPy 含量的杂化材料,在特定的测试气氛中,当 PPy 含量从 0 增加到 10% 时,杂化材料的灵敏度显著增加,但当 PPy 含量超过 10% 时,随着 PPy 含量进一步增加,其灵敏度增加趋于缓慢,甚至没有增加。

2.2.3 PPy、 SnO_2 、PPy/ SnO_2 的气敏性能比较及机理探讨

在室温及 60 °C 下, 分别测试 PPy、 SnO_2 及 PPy/ SnO_2 (以 PPy(5%)/ SnO_2 为代表)对 0.1% NH_3 、0.05% H_2S 、0.1% NO 的气敏性, 实验数据见表 1。

表 1 室温及 60 °C 下, 不同元件的响应时间(T_1)、恢复时间(T_2)、灵敏度(S)

Table 1 Response time(T_1), recovery time(T_2) and sensitivity(S) for different sensors at room temperature and 60 °C

Sensors		NH_3 (0.1%)		H_2S (0.05%)		NO (0.1%)	
		T_1/T_2 , S	T_1/T_2 , S	T_1/T_2 , S	T_1/T_2 , S	T_1/T_2 , S	T_1/T_2 , S
PPy	Room temperature	24/-, $S_p=1.18$		135/-, $S_p=1.14$		145/*, $S_p=1.45$	
	60 °C	23/25, $S_p=1.20$		45/70, $S_p=1.15$		55/*, $S_p=1.47$	
SnO_2	Room temperature	No response		No response		No response	
	60 °C	24/33, $S_n=1.11$		25/-, $S_n=1.49$		No response	
PPy(5%)/ SnO_2	Room temperature	23/-, $S_n=2.29$		45/-, $S_n=1.68$		56/*, $S_n=4.45$	
	60 °C	22/110, $S_n=3.78$		25/69, $S_n=104.52$		40/*, $S_n=5.22$	

-: the recovery time is long, more than one day; *: irreversible.

由表 1 可见:(1) 室温下, PPy 和 PPy/ SnO_2 对 NH_3 、 H_2S 、NO 都有不同程度的响应, 但对于同种气体, PPy/ SnO_2 的灵敏度高于 PPy。两者的敏感机理都是基于接触不同性质气体(具有电子给体或受体性质)其内部电阻的变化, 但室温温度低, 不利于气体的脱吸附, 造成元件电阻的恢复时间很长。(2) 室温

下 SnO_2 对这三种气体均无响应, 这是由于室温下 SnO_2 内没有电子跃迁, 属于绝缘体, 不表现半导体的性质, 没有气体敏感性。(3) 60 °C 下, PPy 对同种气体的灵敏度无明显差别, 只是温度升高, 响应恢复时间缩短, 不可逆程度有所降低。 SnO_2 在该温度下只对 NH_3 、 H_2S 表现出一些响应。PPy/ SnO_2 在 60 °C 下,

对气体的灵敏度都有提高, 对 NH_3 、 NO 的灵敏度分别升高至 3.78 和 5.22, 特别是对于 H_2S , 灵敏度达到了 104.52, 且响应恢复时间短。

图 5、图 6 分别是 60 ℃下 PPy(5%)/SnO₂ 对 0.05% H_2S 及 0.1% NH_3 、0.1% NO 的响应曲线。

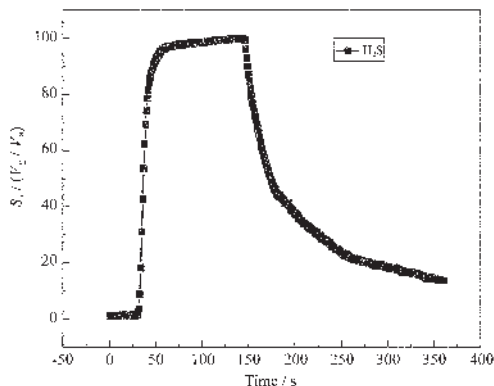


图 5 60 ℃下 PPy(5%)/SnO₂ 对 0.05% H_2S 的响应曲线

Fig.5 Response curves of PPy(5%)/SnO₂ to 0.05% H_2S at 60 ℃

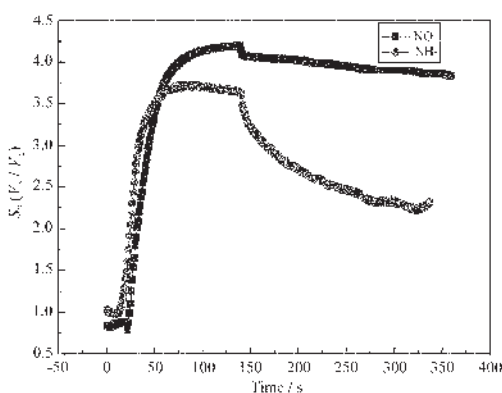


图 6 60 ℃下 PPy(5%)/SnO₂ 对 0.1% NH_3 、0.1% NO 的响应曲线

Fig.6 Response curves of PPy(5%)/SnO₂ to 0.1% NH_3 , 0.1% NO at 60 ℃

NH_3 是还原性气体, 属于给电子体, 聚吡咯是 p 型半导体, 载流子为空穴, 它与 NH_3 接触, 相当于向 p 型半导体注入电子, 或是从 p 型半导体抽出空穴, 所以电阻增大, 电导率降低。 SnO_2 是 n 型半导体, 载流子为电子, 遇到给电子气体时, 载流子数目增加, 电阻减小, 60 ℃表现出与 PPy 相反的现象。当 PPy(5%)/SnO₂ 杂化材料与 NH_3 接触后, 响应呈现 n 型半导体的特征, 即电阻减小, 电导率增大, 与 SnO_2 表现相同, 这是由于杂化材料中虽含有 p、n 两种半导体, 但 SnO_2 含量大, 在两种竞争机制中起主导作用所致^[10]。

H_2S 与 NH_3 都是还原性气体, 但 PPy 与 H_2S 接触表现出与 NH_3 相反的响应, 这是由于新制的 H_2S 含有少量水, 常温常压下 H_2S 发生了解离生成 HS^- 和 H^+ , H^+ 对 PPy 产生了质子酸掺杂效应, 增加了 PPy 中的空穴浓度, 使 PPy 电导率增大, 这与聚苯胺与 H_2S 的反应类似^[13]。有关 PPy 与 H_2S 的不规则反应, Emese Kriván 等^[14]专门进行了研究, 发现随酸度增大, 质子酸掺杂效应明显增大, PPy 电阻急剧下降。60 ℃下, SnO_2 对 H_2S 的灵敏度有所提高, 但温度低气体不易脱吸附, 造成敏感元件的恢复时间较长。PPy(5%)/SnO₂ 与 H_2S 气体接触, 电导率迅速增大, 灵敏度达到了 104.52, 远远大于 PPy、 SnO_2 对 H_2S 的灵敏度, 且响应、恢复时间短, 这可能是 n 型半导体(SnO_2)效应与质子酸掺杂效应的共同体现。

对于 NO 气体, 60 ℃下, SnO_2 对它没有明显的气敏性响应。而 PPy、PPy/SnO₂ 均表现出不可逆响应, 这可能是由于 NO 中少量的 NO_2 封闭了 PPy 层上气体/聚合物的相互作用位点^[8]造成的。对于 NH_3 、 NO 给电子气体, 相同条件下 PPy/SnO₂ 的灵敏度均高于 PPy 及 SnO_2 , 这可解释为由于 p-n 异质结的存在, 使电子从 SnO_2 转移到 PPy, 在 SnO_2 表面形成了正电荷耗尽层, 导致敏感材料对给电子气体活化能和物理吸附焓的降低^[10]。

3 结 论

(1) 用无水 FeCl_3 作氧化剂, 化学氧化法制备了 PPy。当 FeCl_3 与 Py 物质的量之比为 1:1, 2:1 时, PPy 对所测气体没有气敏性; 当 FeCl_3 与 Py 物质的量之比为 3:1, 4:1, 5:1 时, PPy 对特定气体的灵敏度相近。

(2) 用机械共混法制备了 PPy/SnO₂ 杂化材料, 首次研究其对有毒气体 NH_3 、 H_2S 、 NO 的敏感性, 并与 PPy、 SnO_2 作比较, 结果表明, 杂化材料在低温下就具有较高灵敏度, 且稳定性好。

(3) 60 ℃下, PPy(5%)/SnO₂ 杂化材料对 0.05% H_2S 的选择性好, 响应、恢复时间短, 灵敏度达到 104.52, 有良好应用价值。

参 考 文 献:

- [1] Baratto C, Sberveglieri G, Onischuk A, et al. *Sens. Actuators B*, 2004, 100(1~2):261~269
- [2] Ahn J P, Kim J H, Park J K, et al. *Sens. Actuators B*, 2004, 99(1):18~24

- [3] WANG Yu-De, XU Xing-Hui, LI Yan-Feng, et al. *Solid-State Electronics*, **2004**,*48*(5):627~632
- [4] Tan O K, Cao W, Zhu W, et al. *Sens. Actuators B*, **2003**,*93*(1~3):396~401
- [5] Sberveglieri G, Depero L, Groppelli S, et al. *Sens. Actuators B*, **1995**,*26*~*27*:89~92
- [6] Marpuis B T, Vetalino J F. *Sens. Actuators B*, **2001**,*77*:100~110
- [7] Miasik J J, Hooper A, Tofield B C. *J. Chem. Soc., Faraday Tran. 1*, **1986**,*82*:1117~1126
- [8] Karin P K. *Critical Reviews in Analytical Chemistry*, **2002**,*32*(2):121~140
- [9] Lin J, Moler S, Obermeier E. *Sens. Actuators B*, **1991**,*5*:219~221
- [10] Benjamin P J, Phillip E, et al. *J. Mater. Chem.*, **1996**,*6*(3):289~294
- [11] Suri K, Annapoorni S, Sarkar A K, et al. *Sens. Actuators B*, **2002**,*81*:277~282
- [12] JING Song(敬松). *Huagong Xinxing Cailiao(New Chemical Materials)*, **1991**,*5*:25~29
- [13] Agbor N E, Petty M C, Monkman A P. *Sens. and Actuators B*, **1995**,*28*:173~179
- [14] Kriván E, Visy C, Dobay R, et al. *Electroanalysis*, **2000**,*12*(15):1195~1200